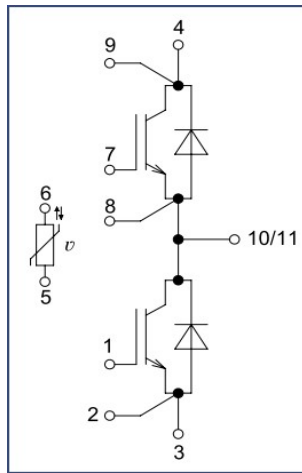
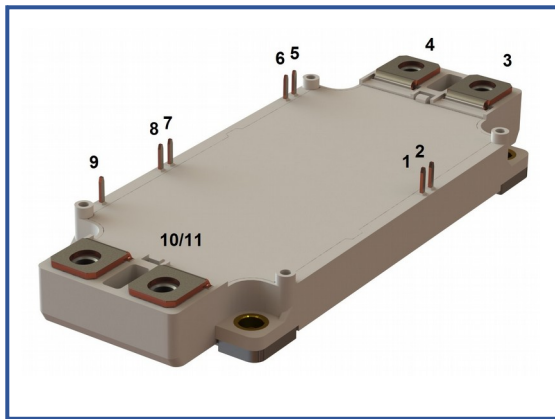


Низкоиндуктивный IGBT модуль высотой корпуса 17 мм

1200 В 600 А



Особенности чипов

- IGBT чип
 - Trench FS — V-Series IGBT (чипы Fuji 6-го поколения)
 - низкое значение $U_{CE(sat)}$
 - длительность K3 10 мкс при 150°C
 - квадратная область RBSOA при $2xI_C$
- FRD чип
 - быстрое и мягкое восстановление
 - низкое падение напряжения

Особенности конструкции

- медное основание
- Al_2O_3 DBC подложки
- разварка силовых шин медной проволокой
- улучшенная стойкость к термоциклам
- соответствие RoHS
- низкое значение индуктивности

Типовые применения

- приводы двигателей переменного тока
- инверторы напряжений для солнечных панелей
- системы кондиционирования воздуха
- преобразователи высокой мощности и ИБП
- инверторы ветрогенераторов

Предельно допустимые значения параметров

Параметр	Обозн.	Условия	Знач.	Ед.
IGBT				
Напряжение коллектор-эмиттер	U_{CES}	$U_{GE} = 0.$	1200	В
Номинальный ток коллектора	$I_{C nom}$		600	А
Постоянный ток коллектора	$I_{C 25}$	$T_{vj (max)} = 175^{\circ}C; T_c = 25^{\circ}C.$	723	А
	$I_{C 80}$	$T_{vj (max)} = 175^{\circ}C; T_c = 80^{\circ}C.$	600	А
Максимальный повторяющийся импульсный ток коллектора*1	I_{CRM}	$I_{CRM} = 3 \times I_{C nom}; t_p = 1 \text{ мс.}$	1800	А
Длительность импульсного тока короткого замыкания	t_{psc}	$T_{vj} = 25^{\circ}C; U_{GE} = \pm 15 \text{ В}; U_{CE} = 720 \text{ В}; R_{G on} = R_{G off} = 1.5 \text{ Ом.}$	10	мкс
		$T_{vj} = 150^{\circ}C; U_{GE} = \pm 15 \text{ В}; U_{CE} = 720 \text{ В}; R_{G on} = R_{G off} = 1.5 \text{ Ом.}$	10	
Напряжение затвор-эмиттер	U_{GES}		± 20	В
Рабочая температура в области перехода кристалла	$T_{vj (op)}$		-40...+150	°C
Обратно-параллельный диод.				
Повторяющееся импульсное обратное напряжение	U_{RRM}	$U_{CE} = 0 \text{ В.}$	1200	В
Номинальный прямой ток	$I_{F nom}$		600	А
Постоянный прямой ток	$I_{F 25}$	$T_{vj (max)} = 175^{\circ}C; T_c = 25^{\circ}C.$	657	А
	$I_{F 80}$	$T_{vj (max)} = 175^{\circ}C; T_c = 80^{\circ}C.$	600	А
Повторяющийся прямой импульсный ток*1	I_{FRM}	$I_{FRM} = 3 \times I_{F nom}; t_p = 1 \text{ мс.}$	1800	А
Рабочая температура перехода	$T_{vj (op)}$		-40...+150	°C
Модуль				
Температура хранения	T_{stg}		-55...+50	°C
Напряжение пробоя изоляции	U_{isol}	AC sin 50 Гц; t = 1 мин.	4000	В

*1 Длительность импульса и частота повторения должна быть такой, чтобы температура перехода не превышала $T_{vj max}$.

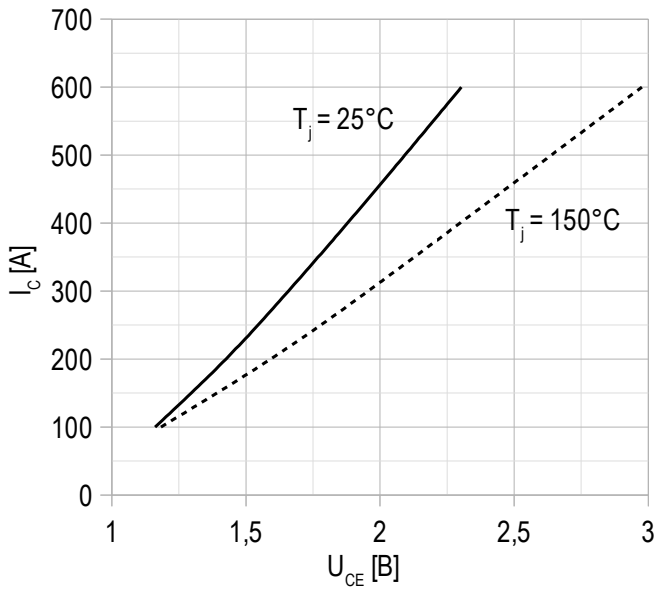
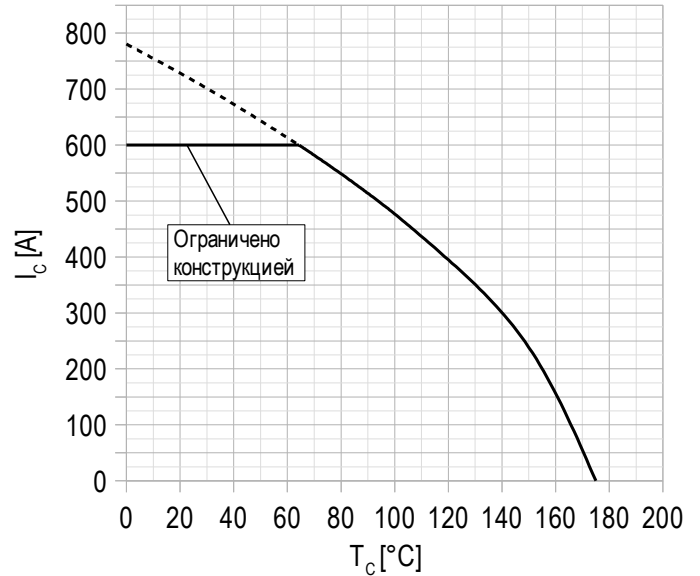
Характеристики

Параметр	Обозн.	Условия	Знач.			Ед.		
			мин.	тип.	макс.			
IGBT								
Напряжение насыщения коллектор-эмиттер	U_{CEsat}	$U_{GE} = +15 \text{ В}; I_{CE} = 600 \text{ А}; t_u = 1000 \text{ мкс.}$	$T_{vj} = 25^\circ\text{C}$	2.12	2.24	2.50	В	
			$T_{vj} = 150^\circ\text{C}$	2.71	2.90	3.20	В	
Пороговое напряжение затвор-эмиттер	$U_{GE(th)}$	$I_C = 24 \text{ мА}; U_{CE} = U_{GE}; T_{vj} = 25^\circ\text{C}; t_u = 2 \text{ мс.}$		5.45	5.78	6.15	В	
Ток утечки коллектор-эмиттер	I_{CES}	$U_{CE} = 1200 \text{ В}; t_u = 50 \text{ мс}; U_{GE} = 0.$	$T_{vj} = 25^\circ\text{C}$	3.17	3.94	150	мкА	
			$T_{vj} = 150^\circ\text{C}$	1.66	2.02	3.00	мА	
Ток утечки затвор-эмиттер	I_{GES}	$U_{CE} = 0; U_{GE} = \pm 20 \text{ В}; T_{vj} = 25^\circ\text{C}; t_u = 30 \text{ мс.}$		3.30	10.7	200	нА	
Входная ёмкость	C_{ies}	$U_{CE} = 10 \text{ В}; U_{GE} = 0 \text{ В}; f = 1 \text{ МГц}; T_{vj} = 25^\circ\text{C}.$		-	49.8	-	нФ	
Выходная ёмкость	C_{oes}			-	3.60	-	нФ	
Обратная передаточная ёмкость	C_{res}			-	4.20	-	нФ	
Заряд затвора	Q_G	$I_C = 600 \text{ А}; U_{CE} = 600 \text{ В}; U_{GE} = - 8 \div 15 \text{ В.}$		-	5540	5700	нКл	
Встроенный резистор затвора	R_{Gint}	$T_{vj} = 25^\circ\text{C}.$		-	1.25	-	Ом	
Время задержки включения	$t_{d(on)}$	$U_{CE} = 600 \text{ В}; U_{GE} = \pm 15 \text{ В}; I_{Cmax} = 600 \text{ А}; R_{Gon} = 1.5 \text{ Ом}; L = 30 \text{ мкГн.}$	$T_{vj} = 25^\circ\text{C}$	276	304	380	нс	
			$T_{vj} = 150^\circ\text{C}$	368	392	480		
Время нарастания тока коллектора	t_{ri}		$T_{vj} = 25^\circ\text{C}$	100	103	120	нс	
			$T_{vj} = 150^\circ\text{C}$	106	109	130		
Энергия потерь при включении	E_{on}		$T_{vj} = 25^\circ\text{C}$	16	20	28	мДж	
			$T_{vj} = 150^\circ\text{C}$	30	38	55		
Время задержки выключения	$t_{d(off)}$		$T_{vj} = 25^\circ\text{C}$	760	780	940	нс	
			$T_{vj} = 150^\circ\text{C}$	850	870	1050		
Время спада тока коллектора	t_{fi}		$T_{vj} = 25^\circ\text{C}$	112	116	150	нс	
			$T_{vj} = 150^\circ\text{C}$	168	184	250		
Энергия потерь при выключении	E_{off}	$T_{vj} = 25^\circ\text{C}$	62	65	78	мДж		
		$T_{vj} = 150^\circ\text{C}$	79	83	98			
Пороговое напряжение коллектор-эмиттер	U_{CE0}	$U_{GE} = +15 \text{ В}; T_{vj} = 150^\circ\text{C}; I_{CE1} = 150 \text{ А}; I_{CE2} = 600 \text{ А}; t_u = 1000 \text{ мкс.}$		0.802	0.855	0.900	В	
Динамическое сопротивление	r_{CE0}			3.09	3.41	3.80	МОм	
Тепловое сопротивление переход-корпус	$R_{th(j-c)}$	$DC; I_{CE} = 550 \pm 50 \text{ А}; I_{test} = 1.5 \text{ А}; U_{GE} = +15 \text{ В.}$		-	0.0533	0.0580	К/Вт	
Обратно-параллельный диод.								
Постоянное прямое напряжение	U_F	$I_F = 600 \text{ А}; U_{GE} = 0; t_u = 1000 \text{ мкс.}$	$T_{vj} = 25^\circ\text{C}$	2.08	2.21	2.50	В	
			$T_{vj} = 150^\circ\text{C}$	2.33	2.51	2.85	В	
Время обратного восстановления	t_{rr}	$U_{CE} = 600 \text{ В}; U_{GE} = \pm 15 \text{ В}; I_{Cmax} = 600 \text{ А}; R_{Gon} = 1.5 \text{ Ом}; L = 30 \text{ мкГн}$	$T_{vj} = 25^\circ\text{C}$	167	175	200	нс	
			$T_{vj} = 150^\circ\text{C}$	267	281	330	нс	
Импульсный ток обратного восстановления	I_{rrM}		$T_{vj} = 25^\circ\text{C}$	351	361	410	А	
			$T_{vj} = 150^\circ\text{C}$	452	461	530	А	
Заряд обратного восстановления	Q_{rr}		$T_{vj} = 25^\circ\text{C}$	34	37	44	мкКл	
			$T_{vj} = 150^\circ\text{C}$	68	72	83	мкКл	
Энергия потерь при обратном восстановлении	E_{rec}		$T_{vj} = 25^\circ\text{C}$	23	25	32	мДж	
			$T_{vj} = 150^\circ\text{C}$	46	49	58	мДж	
Пороговое напряжение	$U_{(T0)}$		$T_{vj} = 150^\circ\text{C}; U_{GE} = 0; I_{CE1} = 150 \text{ А}; I_{CE2} = 600 \text{ А}; t_u = 1000 \text{ мкс}$		0.842	0.849	0.900	В
Динамическое сопротивление	r_T				2.47	2.77	3.20	МОм
Тепловое сопротивление переход-корпус	$R_{th(jc-D)}$	$DC; I_{CE} = 350 \pm 50 \text{ А}; I_{test} = 1.5 \text{ А}; U_{GE} = +15 \text{ В.}$		-	0.0763	0.0800	К/Вт	

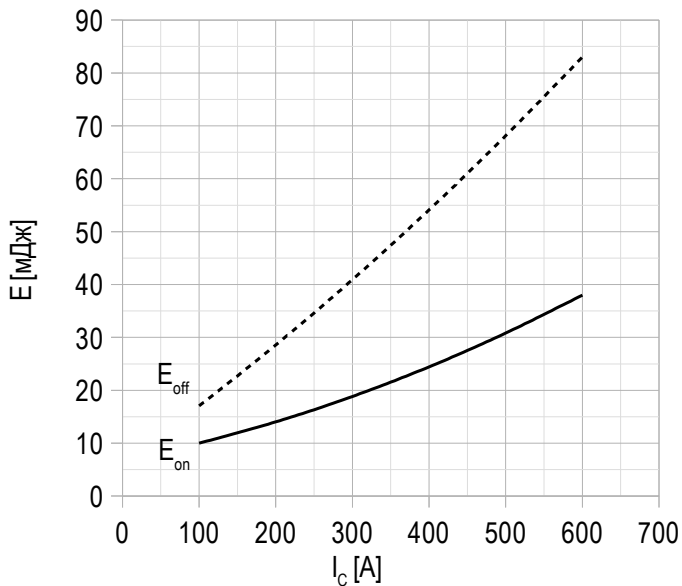
Модуль							
Сопротивление выводов	R_{Pxy}	$T_{vj} = 25^{\circ}\text{C}$	$R_{P10/11-3}$	-	0.92	1.00	мОм
			$R_{P10/11-4}$	-	0.59	1.00	
Паразитная индуктивность модуля между силовыми выводами	L_{Pce}			-	22	-	нГн
Сопротивление термистора	R_{t25}	$T_{vj} = 25^{\circ}\text{C}$ $T_{vj} = 100^{\circ}\text{C}$		-	5000	-	Ом
				-	495	-	
Коэффициент температурной чувствительности	$B_{25/50}$	$R_2 = R_{25} \exp [B_{25/50} (1/T_2 - 1/T_1)],$ $T_1 = 298.15 \text{ K}$		-	3375	-	к
Тепловое сопротивление корпус-основание	R_{thCH}	для модуля		-	0.009	0.014	К/Вт
Момент затягивания винтов корпуса	M_s	к охладителю М5		3	-	6	Н*м
Момент затягивания на силовых выводах	M_t	к клеммам М6		3	-	6	Н*м
Масса	W			-	360	-	г

Примечания:

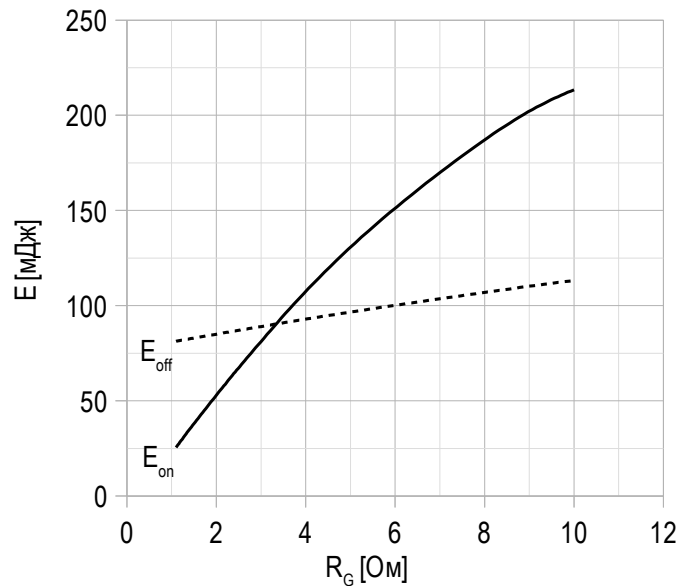
- Рабочая температура корпуса и изоляционных материалов не должна превышать $T_c = 125^{\circ}\text{C}$ макс;
- Рекомендуемая рабочая температура кристалла $T_{vj \text{ op}} = -40 \div +150^{\circ}\text{C}$.
- Данные информационные материалы являются предварительными.

Рисунок 1 – типичная выходная характеристика, IGBT.

 $U_{GE} = +15 \text{ B.}$
Рисунок 2 – максимальная зависимость тока коллектора от температуры кристалла.


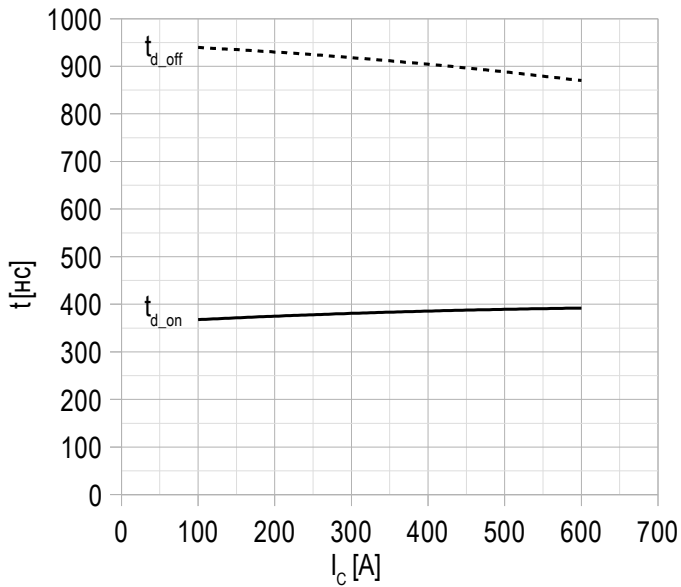
Постоянный ток;
 $U_{GE} = +15 \text{ B.}$
 $T_{vj}(\text{max}) = 150^\circ\text{C.}$

Рисунок 3 – типичная энергия переключения от тока коллектора, IGBT.


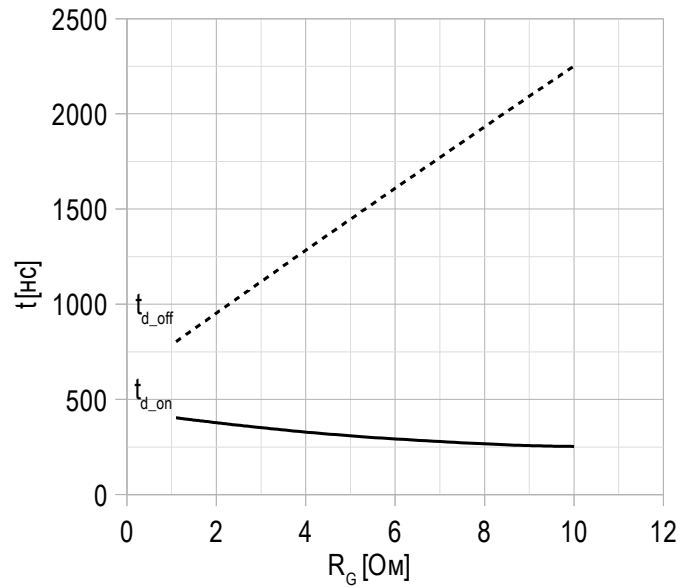
$U_{CE} = 600 \text{ B.}$
 $U_{GE} = \pm 15 \text{ B.}$
 $R_G = 1.5 \text{ Ом.}$
 $L = 30 \text{ мкГн.}$
 $T_{vj}(\text{max}) = 150^\circ\text{C.}$

Рисунок 4 – типичная энергия переключения от сопротивления в затворе, IGBT.


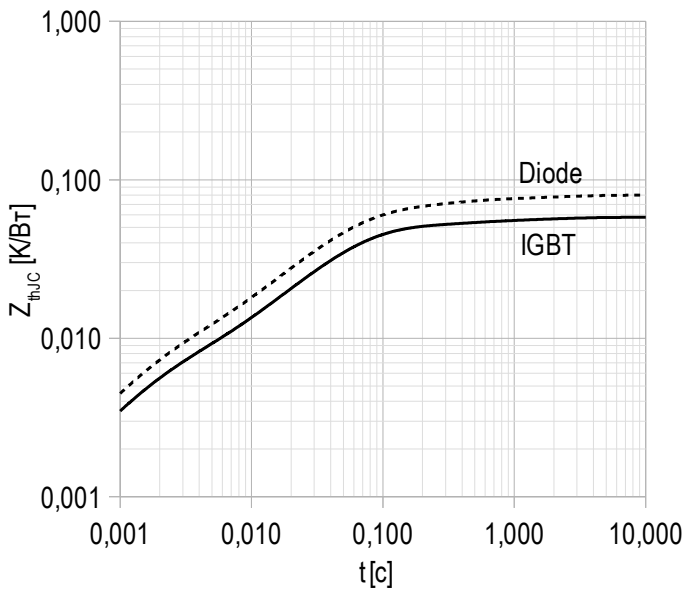
$U_{CE} = 600 \text{ B.}$
 $U_{GE} = \pm 15 \text{ B.}$
 $I_{c \text{ max}} = 600 \text{ A.}$
 $L = 30 \text{ мкГн.}$
 $T_{vj}(\text{max}) = 150^\circ\text{C.}$

Рисунок 5 – типичное время переключения от тока коллектора, IGBT.


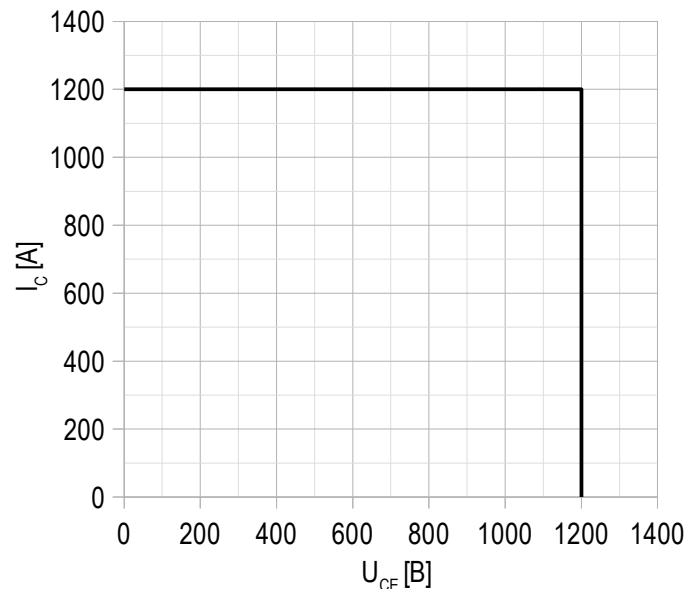
$U_{CE} = 600 \text{ В};$
 $U_{GE} = \pm 15 \text{ В};$
 $R_G = 1.5 \text{ Ом};$
 $L = 30 \text{ мкГн};$
 $T_{vj(\text{max})} = 150^\circ\text{C}.$

Рисунок 6 – типичное время переключения от сопротивления в затворе, IGBT.


$U_{CE} = 600 \text{ В};$
 $U_{GE} = \pm 15 \text{ В};$
 $I_{C \text{ max}} = 600 \text{ А};$
 $L = 30 \text{ мкГн};$
 $T_{vj(\text{max})} = 150^\circ\text{C}.$

Рисунок 7 – максимальное переходное тепловое сопротивление.


Единичный импульс;
 $U_{GE} = +15 \text{ В}.$

Рисунок 8 – область безопасной работы при выключении.


$U_{CE \text{ max}} = 1200 \text{ В};$
 $U_{GE} = \pm 15 \text{ В};$
 $I_{C \text{ max}} = 2 \cdot I_{C \text{ ном}};$
 $R_G = 1.5 \text{ Ом};$
 $L = 30 \text{ мкГн}.$

Рисунок 9 – типичная прямая характеристика, FRD.

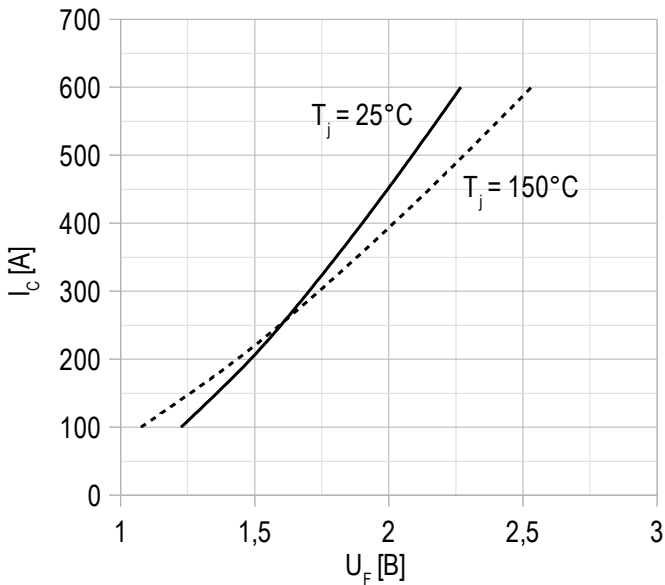

 $U_{GE} = +15\text{ V}$.

Рисунок 10 – типичная энергия рассеиваемая при восстановлении от тока коллектора, FRD.

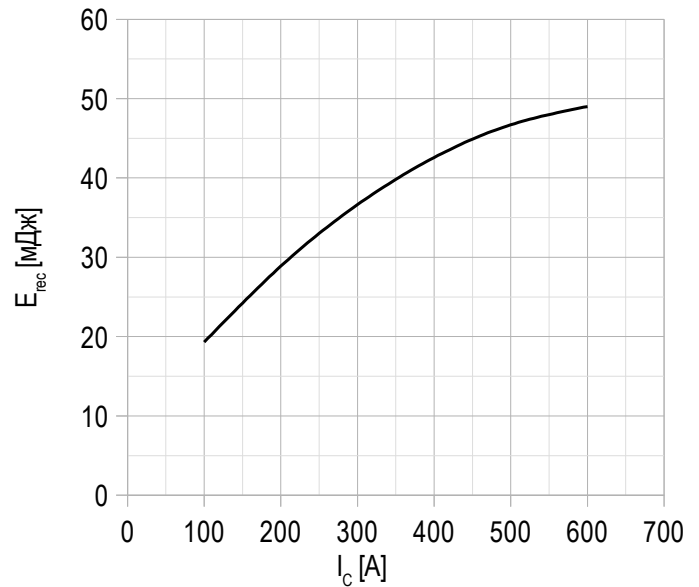

 $U_{GE} = \pm 15\text{ V}$;
 $U_{CE} = 600\text{ V}$;
 $L = 30\text{ мкГн}$;
 $R_{G\text{ on}} = 1.5\text{ Ом}$;
 $T_{vj(\text{max})} = 150^\circ\text{C}$.

Рисунок 11 – типичная энергия рассеиваемая при восстановлении от сопротивления в затворе, FRD.

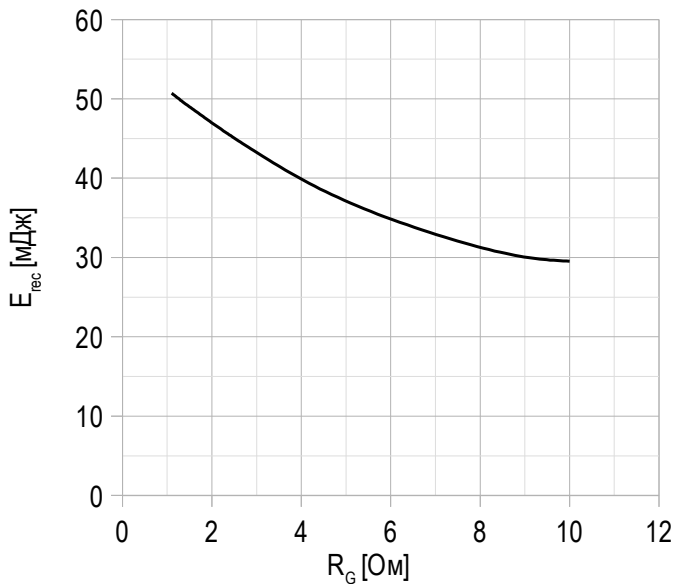

 $U_{GE} = \pm 15\text{ V}$;
 $U_{CE} = 600\text{ V}$;
 $I_{C\text{ max}} = 600\text{ A}$;
 $L = 30\text{ мкГн}$;
 $T_{vj(\text{max})} = 150^\circ\text{C}$.

Рисунок 12 – типичная зависимость заряда обратного восстановления от сопротивления в затворе, FRD.

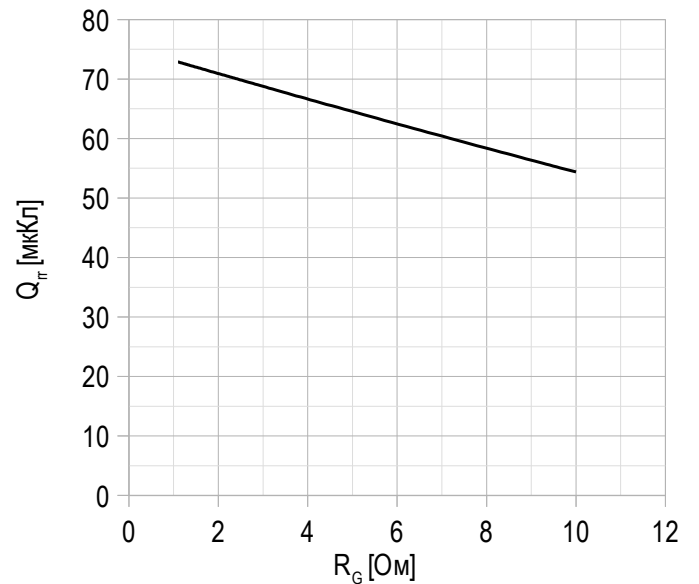
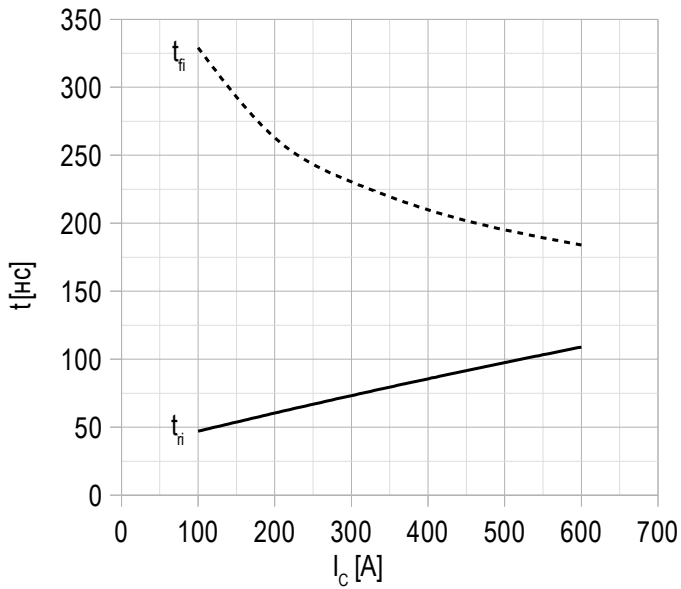
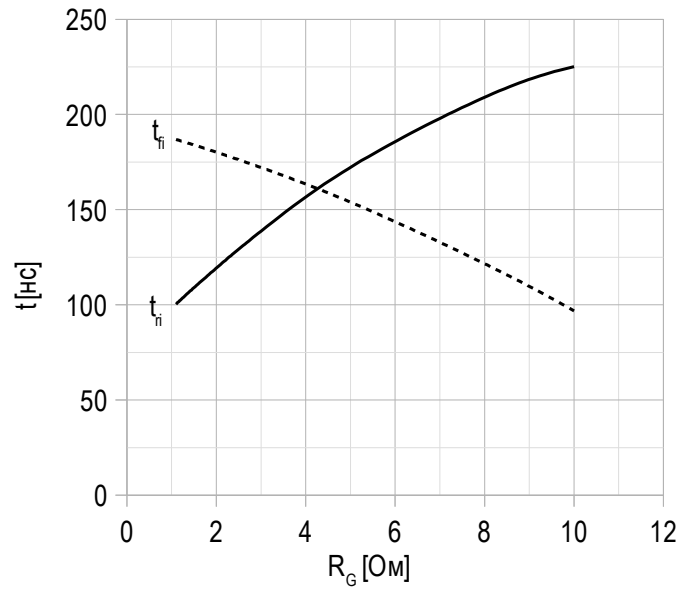
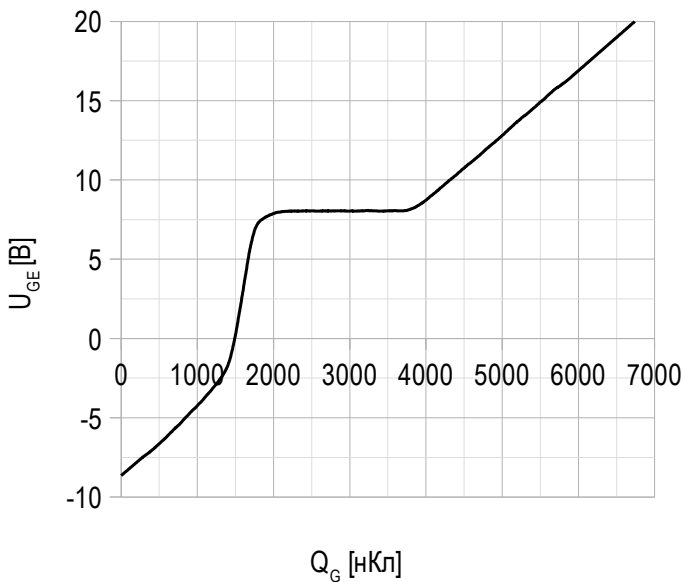

 $U_{GE} = \pm 15\text{ V}$;
 $U_{CE} = 600\text{ V}$;
 $I_{C\text{ max}} = 600\text{ A}$;
 $L = 30\text{ мкГн}$;
 $T_{vj(\text{max})} = 150^\circ\text{C}$.

Рисунок 13 – типичное время переключения от тока коллектора, FRD.


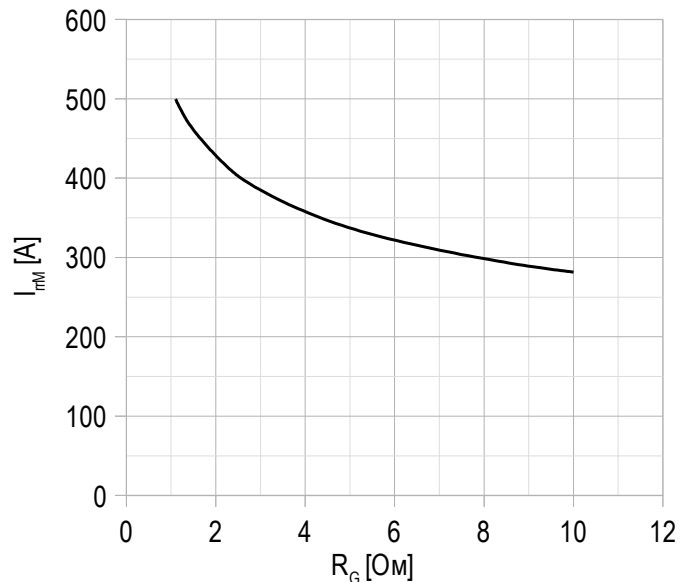
$U_{CE} = 600$ В;
 $U_{GE} = \pm 15$ В;
 $R_G = 1.5$ Ом;
 $L = 30$ мкГн.
 $T_{vj(max)} = 150^\circ\text{C}$.

Рисунок 14 – типичное время переключения от сопротивления в затворе, FRD.


$U_{CE} = 600$ В;
 $U_{GE} = \pm 15$ В;
 $I_{Cmax} = 600$ А;
 $L = 30$ мкГн.
 $T_{vj(max)} = 150^\circ\text{C}$.

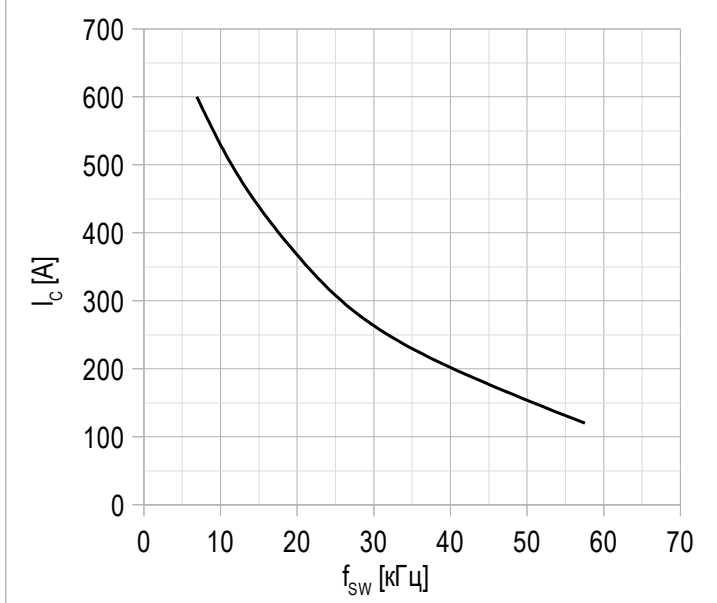
Рисунок 15 – типичная характеристика заряда затвора.


$I_c = 600$ А;
 $U_{CE} = 600$ В;
 $U_{GE} = -8 \div 15$ В.

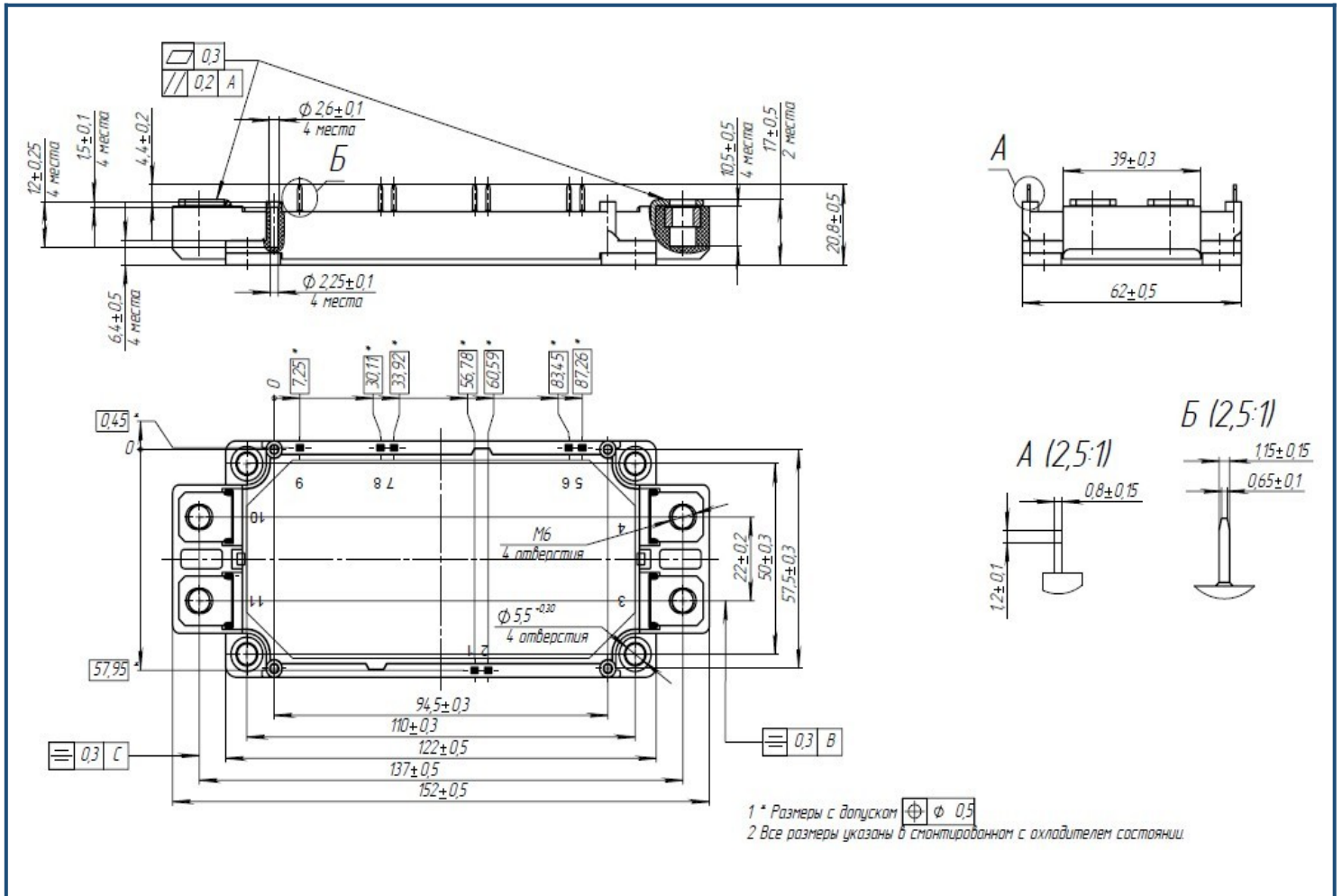
Рисунок 16 – типичная зависимость тока обратного восстановления от сопротивления в затворе, FRD.


$U_{CE} = 600$ В;
 $U_{GE} = \pm 15$ В;
 $L = 30$ мкГн.
 $T_{vj(max)} = 150^\circ\text{C}$.

Рисунок 17 – типичная зависимость тока коллектора от частоты.



Скважность 50%

Габаритные размеры: тип корпуса – DA

Руководство по маркировке

MIDA	-	HB	12	FA	-	600	N	
MIDA								Тип корпуса IGBT модуля: DA
		HB						2 ключа в схеме полумост
			12					Номинальное напряжение ($U_{CES}/100$)
				FA				IGBT+FRD модификация чипсета
						600		Средний ток
							N	Климатическое исполнение: умеренный климат

Информация, содержащаяся в данном документе, защищена авторским правом. В интересах улучшения качества продукта АО «Протон-Электротекс» оставляет за собой право вносить изменения в информационные листы без предварительного уведомления.